

DEK-OSR-1.6222.128.2024

Warszawa, dn. 2024-02-13

T-Mobile Polska S.A.
ul. Marynarska 12
02-674 Warszawa

Pełnomocnik:

Pełnomocnictwo numer: 113/03/23

z dnia: 2023-03-06

dane do korespondencji:

NetWorks Sp. z o.o.

ul. Józefa Piłsudskiego 3

00-728 Warszawa

tel.

Prezydent Miasta Łodzi

Urząd Miasta Łodzi

ul. Piłsudskiego 100

90-926 Łódź

Dotyczy: ustawowego obowiązku, wynikającego z art. 152 ust. 1 i ust. 7 w związku z ust. 6 pkt 1c ustawy z dnia 27 kwietnia 2001r – Prawo ochrony środowiska (Dz.U. 2024 poz. 54).

Działając z upoważnienia T-Mobile Polska S.A. z siedzibą ul. Marynarska 12, 02-674 Warszawa, informuję o zmianie danych w zakresie wielkości i rodzaju emisji dla instalacji radiokomunikacyjnej 27893 (17390N!) WLD_LODZ_MILESZKI116 zlokalizowanej w miejscowości ŁÓDŹ, ul. MILESZKI 116. W stosunku do informacji zawartej w zgłoszeniu realizowanym dla tej instalacji w trybie art. 152 ust. 1 i 5 ustawy z dnia 27 kwietnia 2001r – Prawo ochrony środowiska (Dz.U. 2024 poz. 54), dane ulegają zmianie w następujący sposób:

9. Wielkość i rodzaj emisji²⁾:

Pole elektromagnetyczne. EIRP poszczególnych anten zostało podane w pkt 12, tj.

Lp.	Równoważna moc promieniowana izotropowo (EIRP) [W]
1.	19972
2.	28510
3.	19972
4.	28510
5.	19972
6.	28510
7.	892

12. Szczegółowe dane, odpowiednio do rodzaju instalacji, zgodne z wymaganiami określonymi w załączniku nr 2 do Rozporządzenia:

Lp.	1)	2)	3)	4)	5)	
Lp.	Współrzędne geograficzne	Częstotliwość lub zakresy częstotliwości pracy instalacji [MHz]	Wysokość środka elektrycznego anteny [m n.p.t]	Równoważna moc promieniowana izotropowo (EIRP) [W]	Azymut [°]	Kąt pochylenia lub zakresy kątów pochylenia [°]
1.	19°35'52.8" 51°46'25.3"	800/900/1800/ 2100	41.5	19972	80	2/2/2/2
2.	19°35'52.8" 51°46'25.3"	3600	41.5	28510	80	0-12
3.	19°35'52.7" 51°46'25.2"	800/900/1800/ 2100	41.5	19972	180	4/3/2/2
4.	19°35'52.7" 51°46'25.2"	3600	41.5	28510	180	0-12
5.	19°35'52.6" 51°46'25.3"	800/900/1800/ 2100	41.5	19972	270	2-8/2-8/3/3
6.	19°35'52.6" 51°46'25.3"	3600	41.5	28510	270	0-12
7.	19°35'52.7" 51°46'25.3"	80000	42	892	340*	nd.

*) tolerancja azymutu od -10° do +10°.

Informuję, iż dokonane zmiany w zakresie wielkości i rodzaju emisji przedmiotowej instalacji nie powodują zmiany instalacji w sposób istotny zgodnie z art. 3 pkt 7 ustawy Poś.

W załączniku przesyłam:

1. Pełnomocnictwo
2. Kopia potwierdzenia wniesienia opłaty skarbowej.
3. Sprawozdanie z pomiarów pól elektromagnetycznych wykonanych dla celów ochrony środowiska.

Otrzymują:

1. a/a
2. adresat



Signed by /
Podpisano przez:

Date / Data:
2024-02-13 16:46



NetWorks Sp. z o.o.
Laboratorium Badań Środowiskowych
ul. Józefa Piusa Dziekońskiego 3
00-728 Warszawa
e-mail: Laboratorium@networks.pl



AB 419

S P R A W O Z D A N I E 3/2024/OS
Z POMIARÓW PÓL ELEKTROMAGNETYCZNYCH
WYKONANYCH DLA POTRZEB OCHRONY ŚRODOWISKA

Badany obiekt: Instalacja radiokomunikacyjna T-Mobile Polska S.A.
Numer i nazwa: 27893 (17390N!) WLD_LODZ_MILESZKI116
Adres: ŁÓDŹ, MILESZKI 116, Powiat m. Łódź, WOJ. ŁÓDZKIE

Data wykonania pomiarów: 2024-02-08

Sprawozdanie z badań bez pisemnej zgody laboratorium nie może być powielane inaczej niż w całości.
Wynik przedstawione w niniejszym sprawozdaniu odnoszą się wyłącznie do badanego obiektu i do warunków i konfiguracji urządzeń w dniu wykonywania pomiarów.

1. Właściciel badanego obiektu:

T-Mobile Polska S.A., ul. Marynarska 12, 02-674 Warszawa

2. Zleceniodawca:

T-Mobile Polska S.A., ul. Marynarska 12, 02-674 Warszawa

3. Przedstawiciel zleceniodawcy:

NetWorks Sp. z o.o.

4. Zakres zlecenia:

Wykonanie badania i opracowanie sprawozdania z pomiarów natężenia pola elektrycznego i pola magnetycznego dla instalacji radiokomunikacyjnej T-Mobile Polska S.A. zlokalizowanej w miejscowości ŁÓDŹ, MILESZKI 116.

5. Cel zlecenia:

Wykonanie pomiarów pól elektromagnetycznych w otoczeniu instalacji radiokomunikacyjnej 27893 (17390N!) WLD_LODZ_MILESZKI116 w odniesieniu do wymagań określonych w *Rozporządzeniu Ministra Klimatu z dnia 17 lutego 2020 r. w sprawie sposobów sprawdzania dotrzymania dopuszczalnych poziomów pól elektromagnetycznych w środowisku (Dz.U. 2022 poz. 2630)*.

6. Pomiary zostały wykonane przez:

7. Informacje o źródłach pól elektromagnetycznych

7.1. Sposób identyfikacji badanych źródeł pól elektromagnetycznych

Identyfikacji źródeł i parametrów technicznych dokonano na podstawie analizy dokumentacji dotyczącej zlecenia oraz obserwacji miejsca wykonywania badań.

7.2. Opis miejsca zainstalowania anten i urządzeń technicznych. Opis obiektu badań i jego otoczenia

Instalacja radiokomunikacyjna zlokalizowana jest na terenie ogrodzonym. Anteny zawieszono na wieży kratowej. Urządzenia sterujące oraz zasilające zainstalowano w kontenerze u podstawy wieży. Wokół instalacji znajdują się tereny zielone, budynki gospodarcze, las.

Instalacja radiokomunikacyjna jest obiektem bezobsługowym. Okresowe stanowiska pracy związane są z prowadzonymi w zależności od potrzeb konserwacjami, przeglądami, strojeniem i naprawami.

Sprawozdanie z badań bez pisemnej zgody laboratorium nie może być powielane inaczej niż w całości.
Wynik przedstawione w niniejszym sprawozdaniu odnoszą się wyłącznie do badanego obiektu i do warunków i konfiguracji urządzeń w dniu wykonywania pomiarów.

7.3. Parametry techniczne źródła pola elektromagnetycznego

Dane przedstawiające maksymalne parametry pracy instalacji przekazane przez zleceniodawcę:

Parametry systemu nadawczo-odbiorczego:

Charakterystyka promieniowania		kierunkowa					
Rzeczywisty czas pracy [h/dobę]		24					
Warunki pracy		znamionowe					
Rodzaj wytwarzanego pola		stacjonarne					
Lp.	Częstotliwość lub zakresy częstotliwości pracy [MHz]	Typ/producent anteny	liczba anten	Azymut [°]	kąt pochylecia [°]	Wysokość środka elektrycznego anteny [m n.p.t.]	Równoważna moc promieniowana izotropowo (EIRP) [W]
1	800/900/1800/2100	ASI4518R39v07 Huawei	1	80	2*/2*/2*/2*	41.5	19972
2	3600	AAU5349 Huawei	1	80	0-12**	41.5	28510
3	800/900/1800/2100	ASI4518R39v07 Huawei	1	180	4*/3*/2*/2*	41.5	19972
4	3600	AAU5349 Huawei	1	180	0-12**	41.5	28510
5	800/900/1800/2100	ASI4518R39v07 Huawei	1	270	2-8**/2-8**/3*/3*	41.5	19972
6	3600	AAU5349 Huawei	1	270	0-12**	41.5	28510

* wskazane wartości kąta pochylecia anten, zgodnie z informacją uzyskaną od zleceniodawcy, są wartościami stałymi

** pomiary wykonano zgodnie z pkt 13., ppkt 2 załącznika do Rozporządzenia Ministra Klimatu z dnia 17 lutego 2020 r. (Dz. U. 2022, poz. 2630).

Parametry radiolinii:

Charakterystyka promieniowania		kierunkowa					
Rzeczywisty czas pracy [h/dobę]		24					
Warunki pracy		znamionowe					
Rodzaj wytwarzanego pola		stacjonarne					
Lp.	Linia radiowa			Antena			
	Typ/ Producent	Częstotliwość pracy [GHz]	Równoważna moc promieniowana izotropowo (EIRP) [W]	Typ/ producent	Średnica anteny [m]	Azymut [°]	Wysokość zainstalowania n.p.t [m]
1.	NP ERICSSON ML 6352 R2 70/80GHz 500MHz Ericsson	80	892	ANT2_0.3 80 HP/HPX Ericsson	0.3	340	42

7.4 Inne źródła pól elektromagnetycznych

Na podstawie informacji otrzymanych od użytkownika oraz obserwacji otoczenia miejsca wykonywania pomiarów stwierdzono występowanie innych źródeł pola-EM, pracujących w systemie: telefonii komórkowej (800MHz-2600MHz), linii radiowych (5GHz – 90GHz), które istotnie wpływają na wyniki pomiarów.

8. Opis pomiarów

8.1. Metoda badań

Zgodna z rozporządzeniem Ministra Klimatu z dnia 17 lutego 2020 r. w sprawie sposobów sprawdzania dotrzymania dopuszczalnych poziomów pól elektromagnetycznych w środowisku (Dz.U. 2022 poz. 2630), określona w pkt 25 ppkt 1 załącznika do niniejszego rozporządzenia.

Sprawozdanie z badań bez pisemnej zgody laboratorium nie może być powielane inaczej niż w całości.

Wynik przedstawione w niniejszym sprawozdaniu odnoszą się wyłącznie do badanego obiektu i do warunków i konfiguracji urządzeń w dniu wykonywania pomiarów.

8.2. Termin pomiarów i warunki środowiskowe

Podczas wykonywania pomiarów pól elektromagnetycznych nie występowały opady atmosferyczne. Wyniki pomiaru parametrów pogodowych przedstawia poniższa tabela:

Data [rrrr-mm-dd]	Godzina [hh:mm-hh:mm]	Warunki środowiskowe			
		Temperatura [°C]		Wilgotność względna [%]	
		Przed pomiarem	Po pomiarach	Przed pomiarem	Po pomiarach
2024-02-08	09:20-11:00	0.9	1.2	86.8	86.3

Przedstawione wyżej warunki środowiskowe, występujące podczas wykonywania pomiarów pól elektromagnetycznych, są zgodne ze specyfikacją techniczną użytego zestawu pomiarowego.

8.3. Warunki pracy urządzeń nadawczych

Podczas pomiarów w przypadku uzyskania wyniku pomiaru szerokopasmowego wykonanego zastosowaną metodą, dla zakresów częstotliwości od 10 MHz do 300 GHz, powiększonego o rozszerzoną niepewność pomiaru U dla współczynnika rozszerzenia $k = 2$ przekraczającego 70% najniższej dopuszczalnej wartości składowej elektrycznej lub magnetycznej pola dla objętych pomiarami zakresów częstotliwości, uwzględnia się poprawki pomiarowe przekazane przez zleceniodawcę, umożliwiające uwzględnienie maksymalnych parametrów pracy instalacji zgodnie z pkt 7 załącznika do Rozporządzeniem Ministra Klimatu z dnia 17 lutego 2020 r. w sprawie sposobów sprawdzania dotrzymania dopuszczalnych poziomów pól elektromagnetycznych w środowisku (Dz. U. 2022, poz. 2630) zaznaczając, że wymagane jest wykonanie pomiaru z wykorzystaniem miernika selektywnego. W przypadku uzyskania wyniku pomiaru szerokopasmowego wykonanego zastosowaną metodą, dla zakresów częstotliwości od 10 MHz do 300 GHz, powiększonego o rozszerzoną niepewność pomiaru U dla współczynnika rozszerzenia $k = 2$ nieprzekraczającego 70% najniższej dopuszczalnej wartości składowej elektrycznej lub magnetycznej pola dla objętych pomiarami zakresów częstotliwości, nie uwzględnia się poprawek pomiarowych.

8.4. Wyposażenie pomiarowe

Zestaw pomiarowy służący do pomiaru natężenia składowej elektrycznej pola elektromagnetycznego złożony z szerokopasmowego miernika i sondy pomiarowej:

Oznaczenie miernika	Producent	Model	Numer fabryczny	Oznaczenie sondy	Producent	Model	Numer fabryczny
M-17	Narda Safety Test Solution	Miernik pól elektromagnetycznych NBM-550	H-0128	S-17	Narda Safety Test Solution	Sonda EF9091	A-0056

Mierniki natężenia pola elektromagnetycznego podlegają okresowemu sprawdzeniu zgodnie z procedurą wewnętrzną P-03 i PB-01. Świadectwo wzorcowania zestawu pomiarowego z dnia 29 marca 2023 o numerze LWIMP/W/131/23 wydane przez Politechnika Wrocławską.
Data ważności świadectwa wzorcowania: 29 marca 2025 (zgodnie z procedurą wewnętrzną P-03).

Oznaczenie miernika	Producent	Model	Numer fabryczny	Oznaczenie sondy	Producent	Model	Numer fabryczny
M-17	Narda Safety Test Solution	Miernik pól elektromagnetycznych NBM-550	H-0128	S-18	Narda Safety Test Solution	Sonda EF0391	D-1437

Mierniki natężenia pola elektromagnetycznego podlegają okresowemu sprawdzeniu zgodnie z procedurą wewnętrzną P-03 i PB-01. Świadectwo wzorcowania zestawu pomiarowego z dnia 29 marca 2023 o numerze LWIMP/W/131/23 wydane przez Politechnika Wrocławską.
Data ważności świadectwa wzorcowania: 29 marca 2025 (zgodnie z procedurą wewnętrzną P-03).

Termohigrometr:

Oznaczenie:	TH-06	Producent:	AZ INSTRUMENT CORP	Model:	Termohigrometr AZ8706
-------------	-------	------------	--------------------	--------	-----------------------

Data ważności świadectwa wzorcowania: 3 stycznia 2025 (zgodnie z procedurą wewnętrzną P-03).

Sprawozdanie z badań bez pisemnej zgody laboratorium nie może być powielane inaczej niż w całości.
Wynik przedstawione w niniejszym sprawozdaniu odnoszą się wyłącznie do badanego obiektu i do warunków i konfiguracji urządzeń w dniu wykonywania pomiarów.

Dalmierz:

Oznaczenie	Producent	Typ	Numer seryjny	Nr świadectwa wzorcowania	Data świadectwa wzorcowania
D-13	Leica	Dalmierz Leica Disto D510	1051011710	4665.1-M11-4180-1748/15	27 listopada 2015

Data ważności świadectwa wzorcowania: 27 listopada 2025 (zgodnie z procedurą wewnętrzną P-03).

Odbiornik GNSS:

Oznaczenie	Producent	Model	Numer fabryczny
G-06	Stonex	S7-G GIS	S7G4063010013

Odbiorniki podlegają okresowemu sprawdzeniu zgodnie z procedurą wewnętrzną P-03.

9. Wyniki pomiarów

Pole elektryczne

Nr pionu	Opis umiejscowienia pionu (punktu pomiarowego)	Wysokość pomiaru [m]	Zmierzona wartość natężenia pola elektrycznego E [V/m] ^{1,5}			Wartość natężenia pola elektrycznego powiększona o niepewność pomiaru ⁴ E [V/m]	Wskaźnikowa wartość poziomu emisji pól elektromagnetycznych WMe ³	Współrzędne geograficzne pionu (punktu pomiarowego) ²
			Sonda S-17	Sonda S-18	SUMA			
1	GKP w odległości 4m od anteny sektorowej az. 80°	0.3-2.0	<1.0*	<1.0*	<1.0*	1.6	0.06	51°46'25.3" 19°35'53.2"
2	GKP w odległości 43m od anteny sektorowej az. 80°	0.3-2.0	<1.0*	<1.0*	<1.0*	1.6	0.06	51°46'25.7" 19°35'55.0"
3	GKP w odległości 93m od anteny sektorowej az. 80°	0.3-2.0	<1.0*	<1.0*	<1.0*	1.6	0.06	51°46'26.0" 19°35'57.5"
4	GKP w odległości 4m od anteny sektorowej az. 180°	0.3-2.0	<1.0*	<1.0*	<1.0*	1.6	0.06	51°46'25.0" 19°35'52.8"
5	GKP w odległości 41m od anteny sektorowej az. 180°	0.3-2.0	<1.0*	<1.0*	<1.0*	1.6	0.06	51°46'23.9" 19°35'52.8"
6	GKP w odległości 88m od anteny sektorowej az. 180°	0.3-2.0	<1.0*	<1.0*	<1.0*	1.6	0.06	51°46'22.4" 19°35'52.8"
7	GKP w odległości 3m od anteny sektorowej az. 270°	0.3-2.0	<1.0*	<1.0*	<1.0*	1.6	0.06	51°46'25.3" 19°35'52.4"
8	GKP w odległości 40m od anteny sektorowej az. 270°	0.3-2.0	<1.0*	<1.0*	<1.0*	1.6	0.06	51°46'25.3" 19°35'50.6"
9	GKP w odległości 85m od anteny sektorowej az. 270°	0.3-2.0	<1.0*	<1.0*	<1.0*	1.6	0.06	51°46'25.3" 19°35'48.1"
10	GKP w odległości 4m od anteny radioliniowej az. 340°	0.3-2.0	<1.0*	<1.0*	<1.0*	1.6	0.06	51°46'25.3" 19°35'52.4"
11	GKP w odległości 50m od anteny radioliniowej az. 340°	0.3-2.0	<1.0*	<1.0*	<1.0*	1.6	0.06	51°46'26.8" 19°35'51.7"

Sprawozdanie z badań bez pisemnej zgody laboratorium nie może być powielane inaczej niż w całości.
 Wynik przedstawione w niniejszym sprawozdaniu odnoszą się wyłącznie do badanego obiektu i do warunków i konfiguracji urządzeń w dniu wykonywania pomiarów.

12	PKP na az. 65° w odległości 34m od anteny sektorowej az. 80°	0.3-2.0	<1.0*	<1.0*	<1.0*	1.6	0.06	51°46'25.7" 19°35'54.2"
13	PKP na az. 50° w odległości 43m od anteny sektorowej az. 80°	0.3-2.0	<1.0*	<1.0*	<1.0*	1.6	0.06	51°46'26.4" 19°35'54.6"
14	PKP na az. 34° w odległości 31m od anteny sektorowej az. 80°	0.3-2.0	<1.0*	<1.0*	<1.0*	1.6	0.06	51°46'26.0" 19°35'53.5"
15	PKP na az. 285° w odległości 30m od anteny sektorowej az. 270°	0.3-2.0	<1.0*	<1.0*	<1.0*	1.6	0.06	51°46'25.7" 19°35'51.0"
16	PKP na az. 300° w odległości 41m od anteny sektorowej az. 270°	0.3-2.0	<1.0*	<1.0*	<1.0*	1.6	0.06	51°46'26.0" 19°35'50.6"
17	PKP na az. 316° w odległości 30m od anteny sektorowej az. 270°	0.3-2.0	<1.0*	<1.0*	<1.0*	1.6	0.06	51°46'26.0" 19°35'51.4"
18	PKP na az. 255° w odległości 29m od anteny sektorowej az. 270°	0.3-2.0	<1.0*	<1.0*	<1.0*	1.6	0.06	51°46'25.0" 19°35'51.0"
19	PKP na az. 240° w odległości 41m od anteny sektorowej az. 270°	0.3-2.0	<1.0*	<1.0*	<1.0*	1.6	0.06	51°46'24.6" 19°35'50.6"
20	PKP na az. 224° w odległości 16m od anteny sektorowej az. 270°	0.3-2.0	<1.0*	<1.0*	<1.0*	1.6	0.06	51°46'25.0" 19°35'52.1"
21	PKP na az. 226° w odległości 39m od anteny sektorowej az. 180°	0.3-2.0	<1.0*	<1.0*	<1.0*	1.6	0.06	51°46'24.2" 19°35'51.4"
22	PKP na az. 210° w odległości 40m od anteny sektorowej az. 180°	0.3-2.0	<1.0*	<1.0*	<1.0*	1.6	0.06	51°46'24.2" 19°35'51.7"
23	PKP na az. 195° w odległości 28m od anteny sektorowej az. 180°	0.3-2.0	<1.0*	<1.0*	<1.0*	1.6	0.06	51°46'24.2" 19°35'52.4"
24	PKP na az. 165° w odległości 26m od anteny sektorowej az. 180°	0.3-2.0	<1.0*	<1.0*	<1.0*	1.6	0.06	51°46'24.6" 19°35'53.2"
25	PKP na az. 150° w odległości 42m od anteny sektorowej az. 180°	0.3-2.0	<1.0*	<1.0*	<1.0*	1.6	0.06	51°46'24.2" 19°35'53.9"
26	PKP na az. 134° w odległości 46m od anteny sektorowej az. 180°	0.3-2.0	<1.0*	<1.0*	<1.0*	1.6	0.06	51°46'24.2" 19°35'54.6"

Sprawozdanie z badań bez pisemnej zgody laboratorium nie może być powielane inaczej niż w całości.
 Wynik przedstawione w niniejszym sprawozdaniu odnoszą się wyłącznie do badanego obiektu i do warunków i konfiguracji urządzeń w dniu wykonywania pomiarów.

27	PKP na az. 126° w odległości 9m od anteny sektorowej az. 80°	0.3-2.0	<1.0*	<1.0*	<1.0*	1.6	0.06	51°46'25.3" 19°35'53.2"
28	PKP na az. 110° w odległości 56m od anteny sektorowej az. 80°	0.3-2.0	<1.0*	<1.0*	<1.0*	1.6	0.06	51°46'24.6" 19°35'55.7"
29	PKP na az. 96° w odległości 46m od anteny sektorowej az. 80°	0.3-2.0	<1.0*	<1.0*	<1.0*	1.6	0.06	51°46'25.3" 19°35'55.3"
30	PKP na az. 6° w odległości 64m od anteny sektorowej az. 80°	0.3-2.0	<1.0*	<1.0*	<1.0*	1.6	0.06	51°46'27.5" 19°35'53.2"
31	PKP na az. 223° w odległości 73m od anteny sektorowej az. 270°	0.3-2.0	<1.0*	<1.0*	<1.0*	1.6	0.06	51°46'23.5" 19°35'49.9"
32	PKP na az. 122° w odległości 84m od anteny sektorowej az. 80°	0.3-2.0	<1.0*	<1.0*	<1.0*	1.6	0.06	51°46'23.9" 19°35'56.4"
-	GKP w odległości 383m od anteny sektorowej az. 80°	0.3-2.0	<1.0*	<1.0*	<1.0*	1.6	0.06	51°46'27.5" 19°36'12.6"
-	GKP w odległości 369m od anteny sektorowej az. 180°	0.3-2.0	<1.0*	<1.0*	<1.0*	1.6	0.06	51°46'13.4" 19°35'52.8"
-	GKP w odległości 309m od anteny sektorowej az. 270°	0.3-2.0	<1.0*	<1.0*	<1.0*	1.6	0.06	51°46'25.3" 19°35'36.6"

Pole magnetyczne (wyznaczone na podstawie pomiaru wartości natężenia pola elektrycznego)

Nr pionu	Opis umiejscowienia pionu (punktu) pomiarowego	Wysokość pomiaru [m]	Wartość natężenia pola magnetycznego H [A/m] ¹			Wartość natężenia pola magnetycznego powiększona o niepewność pomiaru ⁴ H [A/m]	Wskaźnikowa wartość poziomu emisji pól elektromagnetycznych WM _H ³	Współrzędne geograficzne pionu (punktu) pomiarowego ²
			Sonda S-17	Sonda S-18	SUMA			
1	GKP w odległości 4m od anteny sektorowej az. 80°	0.3-2.0	<0.003*	<0.003*	<0.003*	0.004	0.06	51°46'25.3" 19°35'53.2"
2	GKP w odległości 43m od anteny sektorowej az. 80°	0.3-2.0	<0.003*	<0.003*	<0.003*	0.004	0.06	51°46'25.7" 19°35'55.0"
3	GKP w odległości 93m od anteny sektorowej az. 80°	0.3-2.0	<0.003*	<0.003*	<0.003*	0.004	0.06	51°46'26.0" 19°35'57.5"
4	GKP w odległości 4m od anteny sektorowej az. 180°	0.3-2.0	<0.003*	<0.003*	<0.003*	0.004	0.06	51°46'25.0" 19°35'52.8"
5	GKP w odległości 41m od anteny sektorowej az. 180°	0.3-2.0	<0.003*	<0.003*	<0.003*	0.004	0.06	51°46'23.9" 19°35'52.8"

Sprawozdanie z badań bez pisemnej zgody laboratorium nie może być powielane inaczej niż w całości.
 Wynik przedstawione w niniejszym sprawozdaniu odnoszą się wyłącznie do badanego obiektu i do warunków i konfiguracji urządzeń w dniu wykonywania pomiarów.

6	GKP w odległości 88m od anteny sektorowej az. 180°	0,3-2,0	<0.003*	<0.003*	<0.003*	0,004	0,06	51°46'22.4" 19°35'52.8"
7	GKP w odległości 3m od anteny sektorowej az. 270°	0,3-2,0	<0.003*	<0.003*	<0.003*	0,004	0,06	51°46'25.3" 19°35'52.4"
8	GKP w odległości 40m od anteny sektorowej az. 270°	0,3-2,0	<0.003*	<0.003*	<0.003*	0,004	0,06	51°46'25.3" 19°35'50.6"
9	GKP w odległości 85m od anteny sektorowej az. 270°	0,3-2,0	<0.003*	<0.003*	<0.003*	0,004	0,06	51°46'25.3" 19°35'48.1"
10	GKP w odległości 4m od anteny radiolinowej az. 340°	0,3-2,0	<0.003*	<0.003*	<0.003*	0,004	0,06	51°46'25.3" 19°35'52.4"
11	GKP w odległości 50m od anteny radiolinowej az. 340°	0,3-2,0	<0.003*	<0.003*	<0.003*	0,004	0,06	51°46'26.8" 19°35'51.7"
12	PKP na az. 65° w odległości 34m od anteny sektorowej az. 80°	0,3-2,0	<0.003*	<0.003*	<0.003*	0,004	0,06	51°46'25.7" 19°35'54.2"
13	PKP na az. 50° w odległości 43m od anteny sektorowej az. 80°	0,3-2,0	<0.003*	<0.003*	<0.003*	0,004	0,06	51°46'26.4" 19°35'54.6"
14	PKP na az. 34° w odległości 31m od anteny sektorowej az. 80°	0,3-2,0	<0.003*	<0.003*	<0.003*	0,004	0,06	51°46'26.0" 19°35'53.5"
15	PKP na az. 285° w odległości 30m od anteny sektorowej az. 270°	0,3-2,0	<0.003*	<0.003*	<0.003*	0,004	0,06	51°46'25.7" 19°35'51.0"
16	PKP na az. 300° w odległości 41m od anteny sektorowej az. 270°	0,3-2,0	<0.003*	<0.003*	<0.003*	0,004	0,06	51°46'26.0" 19°35'50.6"
17	PKP na az. 316° w odległości 30m od anteny sektorowej az. 270°	0,3-2,0	<0.003*	<0.003*	<0.003*	0,004	0,06	51°46'26.0" 19°35'51.4"
18	PKP na az. 255° w odległości 29m od anteny sektorowej az. 270°	0,3-2,0	<0.003*	<0.003*	<0.003*	0,004	0,06	51°46'25.0" 19°35'51.0"
19	PKP na az. 240° w odległości 41m od anteny sektorowej az. 270°	0,3-2,0	<0.003*	<0.003*	<0.003*	0,004	0,06	51°46'24.6" 19°35'50.6"

Sprawozdanie z badań bez pisemnej zgody laboratorium nie może być powielane inaczej niż w całości.
 Wynik przedstawione w niniejszym sprawozdaniu odnoszą się wyłącznie do badanego obiektu i do warunków i konfiguracji urządzeń w dniu wykonywania pomiarów.

20	PKP na az. 224° w odległości 16m od anteny sektorowej az. 270°	0.3-2.0	<0.003*	<0.003*	<0.003*	0.004	0.06	51°46'25.0" 19°35'52.1"
21	PKP na az. 226° w odległości 39m od anteny sektorowej az. 180°	0.3-2.0	<0.003*	<0.003*	<0.003*	0.004	0.06	51°46'24.2" 19°35'51.4"
22	PKP na az. 210° w odległości 40m od anteny sektorowej az. 180°	0.3-2.0	<0.003*	<0.003*	<0.003*	0.004	0.06	51°46'24.2" 19°35'51.7"
23	PKP na az. 195° w odległości 28m od anteny sektorowej az. 180°	0.3-2.0	<0.003*	<0.003*	<0.003*	0.004	0.06	51°46'24.2" 19°35'52.4"
24	PKP na az. 165° w odległości 26m od anteny sektorowej az. 180°	0.3-2.0	<0.003*	<0.003*	<0.003*	0.004	0.06	51°46'24.6" 19°35'53.2"
25	PKP na az. 150° w odległości 42m od anteny sektorowej az. 180°	0.3-2.0	<0.003*	<0.003*	<0.003*	0.004	0.06	51°46'24.2" 19°35'53.9"
26	PKP na az. 134° w odległości 46m od anteny sektorowej az. 180°	0.3-2.0	<0.003*	<0.003*	<0.003*	0.004	0.06	51°46'24.2" 19°35'54.6"
27	PKP na az. 126° w odległości 9m od anteny sektorowej az. 80°	0.3-2.0	<0.003*	<0.003*	<0.003*	0.004	0.06	51°46'25.3" 19°35'53.2"
28	PKP na az. 110° w odległości 56m od anteny sektorowej az. 80°	0.3-2.0	<0.003*	<0.003*	<0.003*	0.004	0.06	51°46'24.6" 19°35'55.7"
29	PKP na az. 96° w odległości 46m od anteny sektorowej az. 80°	0.3-2.0	<0.003*	<0.003*	<0.003*	0.004	0.06	51°46'25.3" 19°35'55.3"
30	PKP na az. 6° w odległości 64m od anteny sektorowej az. 80°	0.3-2.0	<0.003*	<0.003*	<0.003*	0.004	0.06	51°46'27.5" 19°35'53.2"
31	PKP na az. 223° w odległości 73m od anteny sektorowej az. 270°	0.3-2.0	<0.003*	<0.003*	<0.003*	0.004	0.06	51°46'23.5" 19°35'49.9"
32	PKP na az. 122° w odległości 84m od anteny sektorowej az. 80°	0.3-2.0	<0.003*	<0.003*	<0.003*	0.004	0.06	51°46'23.9" 19°35'56.4"

Sprawozdanie z badań bez pisemnej zgody laboratorium nie może być powielane inaczej niż w całości.
 Wynik przedstawione w niniejszym sprawozdaniu odnoszą się wyłącznie do badanego obiektu i do warunków i konfiguracji urządzeń w dniu wykonywania pomiarów.

-	GKP w odległości 383m od anteny sektorowej az. 80°	0,3-2,0	<0.003*	<0.003*	<0.003*	0,004	0,06	51°46'27.5" 19°36'12.6"
-	GKP w odległości 369m od anteny sektorowej az. 180°	0,3-2,0	<0.003*	<0.003*	<0.003*	0,004	0,06	51°46'13.4" 19°35'52.8"
-	GKP w odległości 309m od anteny sektorowej az. 270°	0,3-2,0	<0.003*	<0.003*	<0.003*	0,004	0,06	51°46'25.3" 19°35'36.6"

GKP – Główny Kierunek Pomiarowy

PKP – Pomocniczy Kierunek Pomiarowy

¹ wyniki oznaczone * są wynikami poniżej czułości zestawu pomiarowego i są wynikami spoza zakresu akredytacji. Do obliczenia wyniku skorygowanego przyjęto wartość skorelowaną z rzeczywistym wynikiem pomiaru - dolną granicę akredytowanego zakresu pomiarowego metody

² współrzędne geograficzne pozyskane metodą pomiaru bezpośredniego

³ do wyznaczenia wartości wskaźnikowej W_{M_E} i W_{M_H} przyjęto na podstawie uzgodnień z klientem oraz rozpoznania źródeł, jako wartości dopuszczalne pola elektrycznego i magnetycznego odpowiednio 28 V/m i 0,073 A/m.

⁴ do wyznaczenia niepewności dla wyników poniżej czułości zestawu pomiarowego, przyjęto niepewność dla minimalnej wartości z zakresu pomiarowego.

⁵ maksymalna wartość chwilowa

Niepewność oszacowano zgodnie z dokumentem P-03 „Procedura nadzoru nad wyposażeniem” w postaci niepewności rozszerzonej wynikającej z niepewności standardowej pomnożonej przez współczynnik rozszerzenia $k=2$.

Całkowita szacowana niepewność rozszerzona składowej E wynosi odpowiednio:

sonda S-17: 57,4% dla częstotliwości do 4 GHz, sonda S-18: 39,2% dla częstotliwości do 4 GHz

Umieszczenie pionów (punktów) pomiarowych przedstawiono w załączniku nr 2 do niniejszego sprawozdania.

10. Omówienie wyników pomiarów

W związku z tym, że żadna z wartości zmierzonych, udokumentowanych w tabelach w pkt. 9, uzyskanych w skutek zastosowania pomiaru szerokopasmowego, powiększonego o rozszerzoną niepewność pomiaru U dla współczynnika rozszerzenia $k = 2$ nie przekroczyła 70% najniższej dopuszczalnej wartości składowej elektrycznej lub magnetycznej pola dla objętych pomiarami zakresów częstotliwości, nie uwzględnia się poprawek pomiarowych.

W wyniku zastosowania sposobu sprawdzenia dotrzymania dopuszczalnych poziomów pól elektromagnetycznych w środowisku, zgodnie pkt 25 ppkt 1 Rozporządzenia Ministra Klimatu z dnia 17 lutego 2020 r. (Dz. U. 2022, poz. 2630), w związku z tym, że żadna z wartości wskaźnikowych, udokumentowanych w tabelach w pkt. 9 nie przekracza wartości 1, stwierdza się, że w miejscach, w których wykonano pomiary w otoczeniu instalacji radiokomunikacyjnej 27893 (17390N!) WLD_LODZ_MILESZKI116, dopuszczalne poziomy pól elektromagnetycznych w środowisku należy uznać za dotrzymane.

Miejsca niedostępne podczas wykonywania pomiarów wskazane zostały w pkt. 9 (Wyniki pomiarów) lub na załączniku przedstawiającym usytuowanie pionów pomiarowych.

Sprawozdanie z badań bez pisemnej zgody laboratorium nie może być powielane inaczej niż w całości.
Wynik przedstawione w niniejszym sprawozdaniu odnoszą się wyłącznie do badanego obiektu i do warunków i konfiguracji urządzeń w dniu wykonywania pomiarów.

11. Podstawa prawna

- 1) Ustawa z dnia 27 kwietnia 2001 r. Prawo ochrony środowiska (Dz.U. 2022 poz. 2556)
- 2) Rozporządzenie Ministra Zdrowia z dnia 17 grudnia 2019 r. w sprawie dopuszczalnych poziomów pól elektromagnetycznych w środowisku (Dz. U. 2019, poz. 2448)
- 3) Rozporządzenie Ministra Klimatu z dnia 17 lutego 2020 r. w sprawie sposobów sprawdzania dotrzymania dopuszczalnych poziomów pól elektromagnetycznych w środowisku (Dz. U. 2022, poz. 2630),
- 4) Akredytacja nr AB 419 wydana przez Polskie Centrum Akredytacji (wydanie 22, z dnia 9 stycznia 2024 r.)

12. Spis załączników

Załącznik 1. Lokalizacja obiektu badań

Załącznik 2. Usytuowanie pionów (punktów) pomiarowych

Załącznik 3. Dokumentacja fotograficzna obiektu badań

13. Data wydania i autoryzowania sprawozdania

Obliczenia i sprawozdanie wykonał :



Signed by /
Podpisano przez:

K
v
!

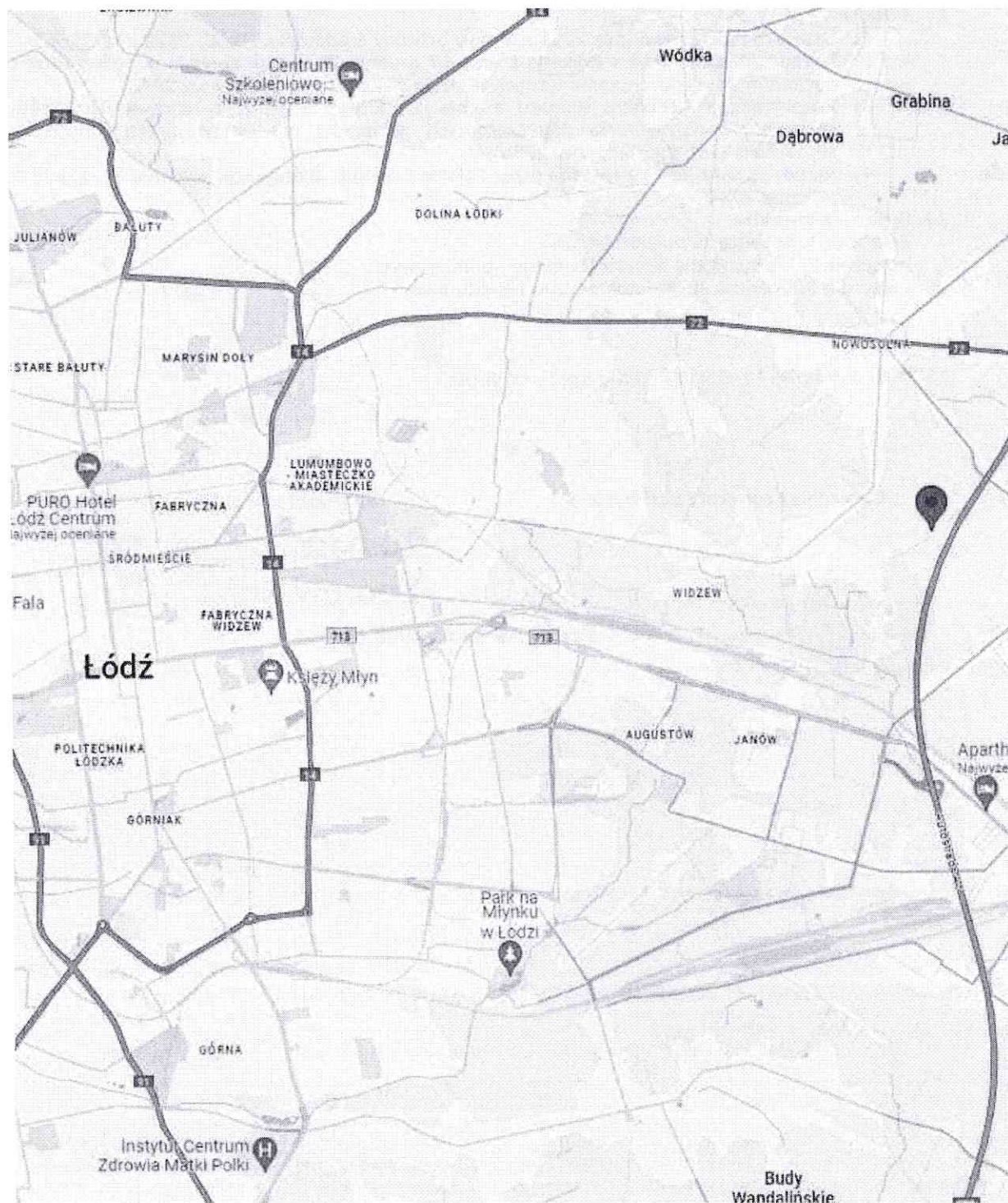
Date / Data:
2024-02-08 19:01

Sprawozdanie autoryzował:

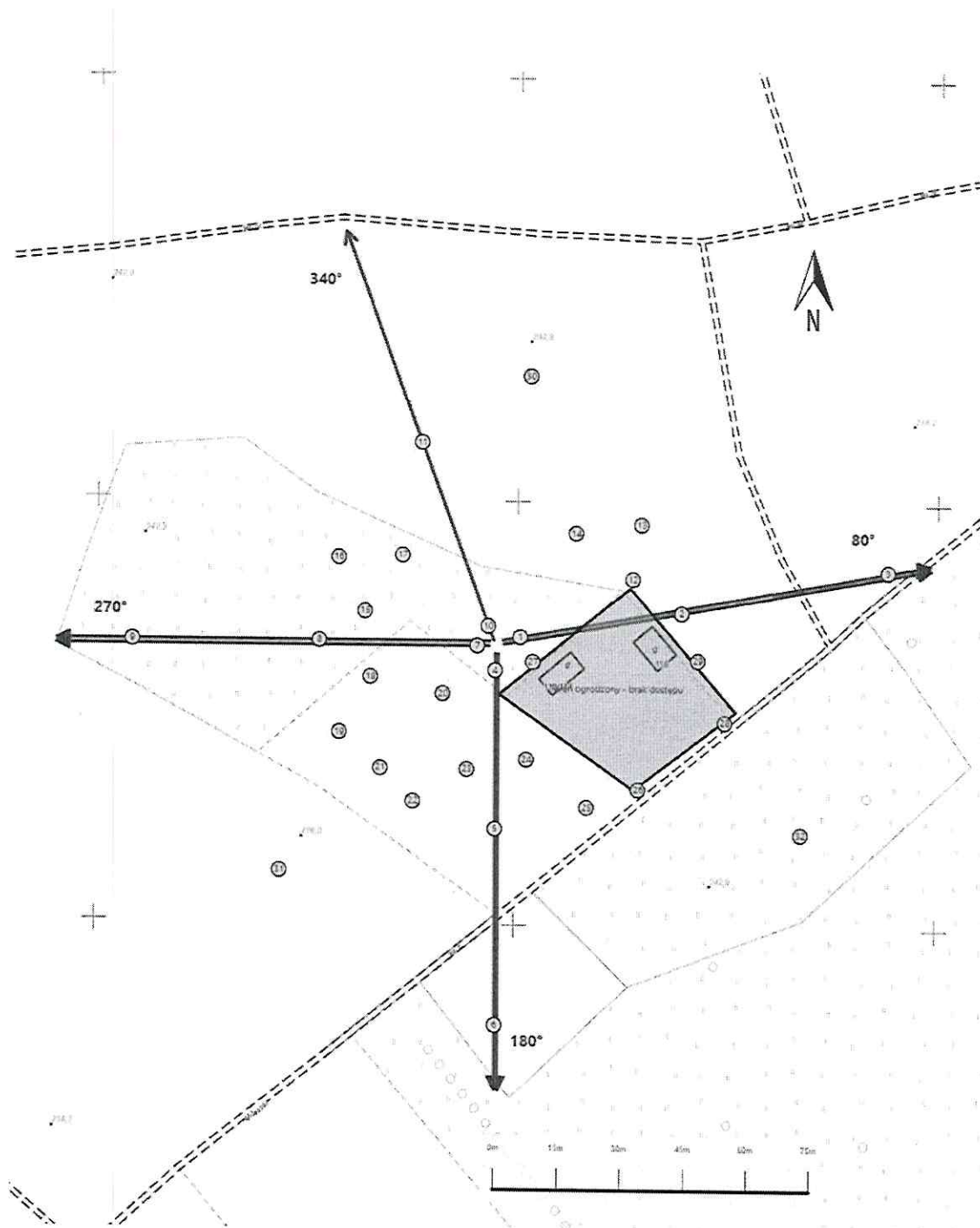
Elektron
przez T
Data: 2024.02.09
07:45:08 +01'00'













Koniec sprawozdania

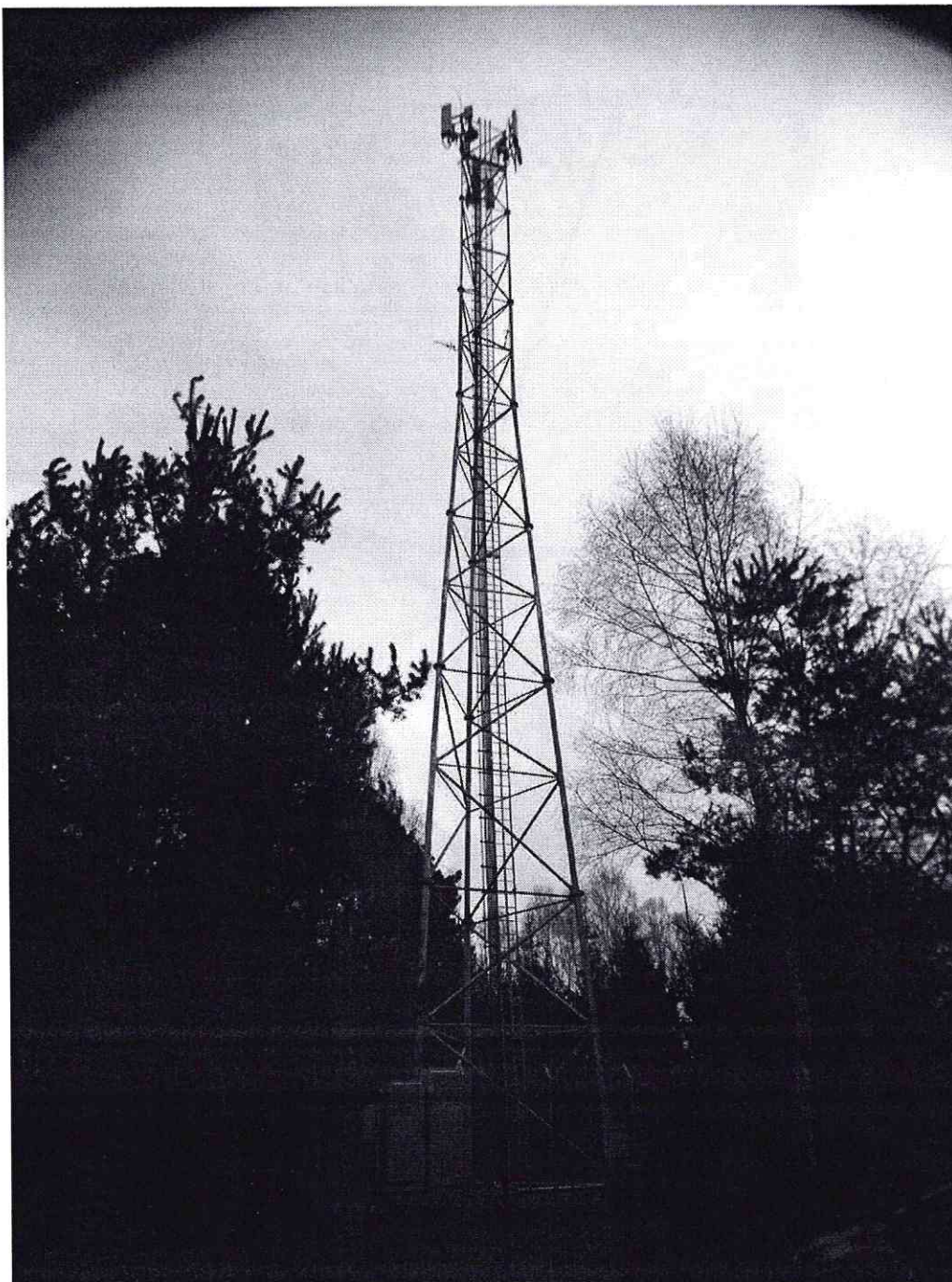
Sprawozdanie z badań bez pisemnej zgody laboratorium nie może być powielane inaczej niż w całości.
Wynik przedstawione w niniejszym sprawozdaniu odnoszą się wyłącznie do badanego obiektu i do warunków i konfiguracji urządzeń w dniu wykonywania pomiarów.



Załącznik nr 1	Instalacja radiokomunikacyjna T-Mobile Polska S.A. (17390N) WLD_LODZ_MILESZKH16 Lokalizacja instalacji
----------------	--



Załącznik nr 2	Instalacja radiokomunikacyjna T-Mobile Polska S.A. WLD_LODZ_MILESZKI116 (17390N!) Usytuowanie pionów pomiarowych w otoczeniu instalacji radiokomunikacyjnej				
	Legenda: <table style="width: 100%; text-align: center;"> <tr> <td data-bbox="539 1973 651 2033">  Brak dostępu </td> <td data-bbox="746 1973 879 2033">  Pion pomiarowy </td> <td data-bbox="951 1973 1110 2056">  Kierunek oddziaływania anten sektorowych </td> <td data-bbox="1166 1973 1326 2056">  Kierunek oddziaływania anten radioliniowych </td> </tr> </table>	 Brak dostępu	 Pion pomiarowy	 Kierunek oddziaływania anten sektorowych	 Kierunek oddziaływania anten radioliniowych
 Brak dostępu	 Pion pomiarowy	 Kierunek oddziaływania anten sektorowych	 Kierunek oddziaływania anten radioliniowych		



Załącznik nr 3	Instalacja radiokomunikacyjna T-Mobile Polska S.A. (17390N!) WLD_LODZ_MILESZKI116 Dokumentacja fotograficzna
----------------	--